

Achse	a_{i-1}	α_{i-1}	d_i	θ_i	Art
1	0	0	0	α	Rotation
2	$l_1 = 0.16 \text{ m}$	0	0	0	Translation
3	$l_2 = 0.128 \text{ m}$	0	0	β	Both

Tabelle 1: DH-Parameter des Knickarmroboters

1 Weihnachtsprojekt: Simulation und Regelung eines Knickarmroboters

Aufgabe 1 - Bestimmung der Kinematik und DH-Parameter

Zur Bestimmung der Kinematik ist es notwendig herauszufinden, wie die einzelnen Gelenke des Roboters miteinander verbunden sind. Die Denavit-Hartenberg-Notation wird verwendet, um die 3D-Transformation zum nächsten Gelenk mithilfe von vier Parameter zu beschreiben. Im Fall des Knickarmroboters ist dies sehr einfach, da es sich lediglich um eine Kette von drei Gelenken handelt. Die Koordinatentransformation ist jeweils eine Rotation um die z -Achse mit θ_i und eine Translation in der xy -Ebene, um die Länge $a_i = l_i$. Wir können somit das erste Gelenk in den Ursprung legen und mithilfe von zwei Transformationen T_{01} und T_{12} alles beschreiben. Die Parameter α_{i-1} und d_i sind immer null, da eine 2D Betrachtung ausreichend wäre.

Die DH-Parameter sind in Tabelle 1 aufgeführt.

Daraus resultieren die Transformationsmatrizen

$$T_{02}(\alpha, l_1) = \begin{pmatrix} \cos(\alpha) & -\sin(\alpha) & 0 & 0 \\ \sin(\alpha) & \cos(\alpha) & 0 & 0 \\ 0 & 0 & 1 & 0 \\ 0 & 0 & 0 & 1 \end{pmatrix} \cdot \begin{pmatrix} 1 & 0 & 0 & l_1 \\ 0 & 1 & 0 & 0 \\ 0 & 0 & 1 & 0 \\ 0 & 0 & 0 & 1 \end{pmatrix} = \begin{pmatrix} \cos(\alpha) & -\sin(\alpha) & 0 & \cos(\alpha)l_1 \\ \sin(\alpha) & \cos(\alpha) & 0 & \sin(\alpha)l_1 \\ 0 & 0 & 1 & 0 \\ 0 & 0 & 0 & 1 \end{pmatrix}$$

und

$$T_{23}(\beta, l_2) = \begin{pmatrix} \cos(\beta) & -\sin(\beta) & 0 & 0 \\ \sin(\beta) & \cos(\beta) & 0 & 0 \\ 0 & 0 & 1 & 0 \\ 0 & 0 & 0 & 1 \end{pmatrix} \cdot \begin{pmatrix} 1 & 0 & 0 & l_2 \\ 0 & 1 & 0 & 0 \\ 0 & 0 & 1 & 0 \\ 0 & 0 & 0 & 1 \end{pmatrix} = \begin{pmatrix} \cos(\beta) & -\sin(\beta) & 0 & \cos(\beta)l_2 \\ \sin(\beta) & \cos(\beta) & 0 & \sin(\beta)l_2 \\ 0 & 0 & 1 & 0 \\ 0 & 0 & 0 & 1 \end{pmatrix}$$

Die Gesamttransformation ergibt sich aus der Multiplikation der beiden Matrizen, welche mithilfe von trigonometrischen Additionstheoremen vereinfacht werden kann.

$$T_{03} = T_{01} \cdot T_{12} = \begin{pmatrix} \cos(\alpha + \beta) & -\sin(\alpha + \beta) & 0 & \cos(\alpha)l_1 + \cos(\alpha + \beta)l_2 \\ \sin(\alpha + \beta) & \cos(\alpha + \beta) & 0 & \sin(\alpha)l_1 + \sin(\alpha + \beta)l_2 \\ 0 & 0 & 1 & 0 \\ 0 & 0 & 0 & 1 \end{pmatrix}$$

Somit ergibt sich die Position von Gelenk 2 im Weltkoordinatensystem zu

$$\begin{pmatrix} x_2 \\ y_2 \\ z_2 \end{pmatrix} = \begin{pmatrix} \cos(\alpha)l_1 \\ \sin(\alpha)l_1 \\ 0 \end{pmatrix}$$



und die Position von Gelenk 3 bzw. des Endeffektors zu

$$\begin{pmatrix} x_3 \\ y_3 \\ z_3 \end{pmatrix} = \begin{pmatrix} \cos(\alpha)l_1 + \cos(\alpha + \beta)l_2 \\ \sin(\alpha)l_1 + \sin(\alpha + \beta)l_2 \\ 0 \end{pmatrix}$$

Aufgabe 2 - Bestimmung der Bewegungsgleichung

Generalisierte Koordinaten

Die Wahl fällt zu $q_1 = \alpha$ und $q_2 = \beta$. Die generalisierten Koordinaten sind somit die Winkel der Gelenke 2 und 3.

Lagrang'sche Gleichungen

Jacobi-Matrizen

potentielle Energie U



Template

Guidelines: Die Ergebnisse des Weihnachtsprojekts sollten mit Hilfe der vorgegebenen Vorlage visualisiert und diskutiert werden. Der Bericht sollte dabei eine maximale Länge von acht Seiten nicht überschreiten, die Aufgabenstellung wird hierbei nicht erneut aufgeführt. Zur Darstellung und Diskussion können die angehängten Tabellen- und Abbildungsvorlagen verwendet werden, siehe Tab. 1 sowie Abb. 1 und 2. Etwaige Literatur sollte sauber referenziert werden, z.B. mittels Bibtex [FehrEtAl20, Fuchs23, DenavitHartenberg55, Lipkin05].

Software Guidelines: Zusätzlich zur Dokumentation sollen die Simulationsdateien abgegeben werden. Es ist auf eine ausreichende Kommentierung der Skripte und Funktionen zu achten, numerische Parameter sollen mittels eines Initialisierungsskripts eingebunden werden.

Gruppenarbeit: Es bietet sich an Simulations- und Dokumentationsdateien mit Hilfe von Versionskontrolle gemeinsam zu verwalten, beispielsweise durch den Github-Server der Universität Stuttgart, siehe TIK GitHub.

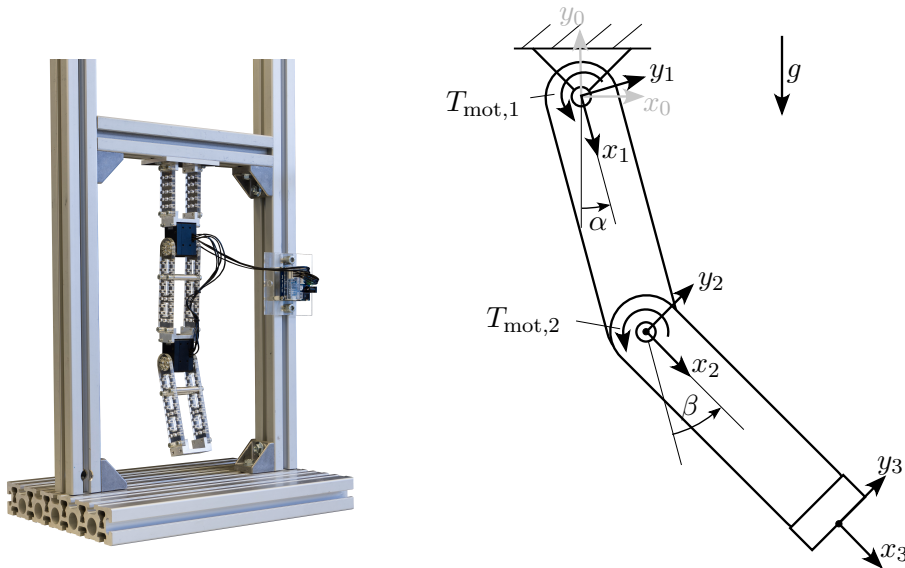


Abbildung 1: Foto sowie schematische Darstellung des zu untersuchenden Roboters [Fuchs23].

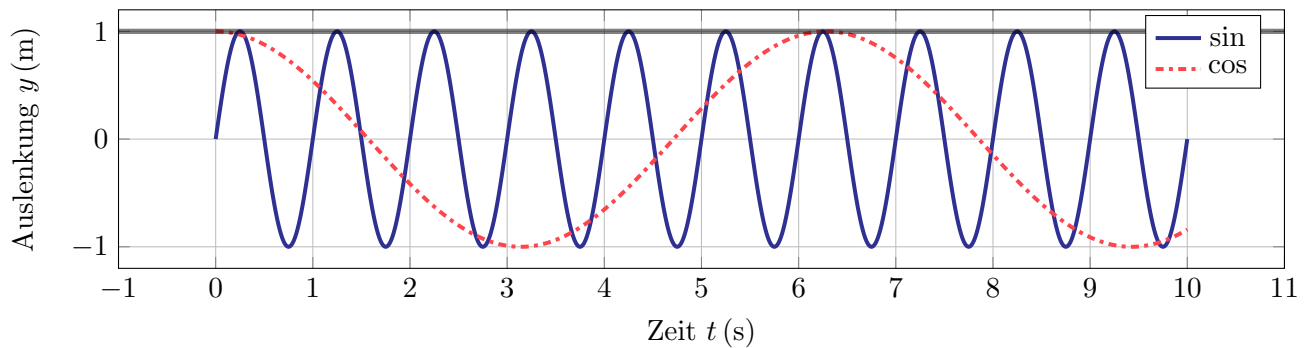


Abbildung 2: Beispielhafter Plot

Literatur

- [DenavitHartenberg55] Denavit, J.; Hartenberg, R.S.: A kinematic notation for lower-pair mechanisms based on matrices. *Journal of Applied Mechanics*, Bd. 22, Nr. 2, S. 215–221, 1955.
- [FehrEtAl20] Fehr, J.; Schmid, P.; Schneider, G.; Eberhard, P.: Modeling, Simulation and Vision-/MPC-Based Control of a PowerCube Serial Robot. *Applied Sciences*, Bd. 10, Nr. 20, S. 7270, 2020.
- [Fuchs23] Fuchs, M.: Data-Driven Modeling of a Robotic Manipulator, 2023. Bachelorarbeit BSC-154, Institut für Technische und Numerische Mechanik, Universität Stuttgart.
- [Lipkin05] Lipkin, H.: A note on Denavit-Hartenberg notation in robotics. In *Proceedings of the International Design Engineering Technical Conferences and Computers and Information in Engineering Conference*, S. 921–926, Long Beach, CA, USA, 2005.